



# การเปรียบเทียบแรงเสียดทานระหว่าง เชลฟ์ไลเกตติ้งแบร์กเกตแบบไร้แรงสองชนิด และแบร์กเกตธรรมชาติ

บัณฑูร โชคิวะรุณพง ท.บ., วท.ม. (ทันตกรรมจัดฟัน)<sup>1</sup>

พรทิพย์ ชิวารัตน์ ท.บ. (เกียรตินิยม), ท.ม. (ทันตกรรมจัดฟัน), อ.ท. (ทันตกรรมจัดฟัน)<sup>2</sup>

นิรมล ชำนาญนิธิอรรถ ท.บ. (เกียรตินิยม), Dr. med. dent. (ทันตกรรมจัดฟัน),

อ.ท. (ทันตกรรมจัดฟัน)<sup>2</sup>

<sup>1</sup>นิสิตปริญญาบัณฑิต ภาควิชาทันตกรรมจัดฟัน คณะทันตแพทยศาสตร์ จุฬาลงกรณ์มหาวิทยาลัย

<sup>2</sup>ภาควิชาทันตกรรมจัดฟัน คณะทันตแพทยศาสตร์ จุฬาลงกรณ์มหาวิทยาลัย

## บทคัดย่อ

**วัตถุประสงค์** เพื่อเปรียบเทียบแรงเสียดทานระหว่างเชลฟ์ไลเกตติ้งแบร์กเกตแบบไร้แรง 2 ชนิด คือ ตามอนหรีเอ็มເອັກ໌ທີ່ມີກາරອອກແນບກາຍຢືດຈັບລວດແບບບານສໄລດໍ່ແລະສມາർທຄລິປທີ່ມີຄລິປ 2 խ້າງເພື່ອຢືດຈັບລວດ ແລະ ບຽກເກຕດຮຽມດາເມີນທີ່ນັດດ້ວຍວາງອືລາສໂຫເມວ່ອ

**วัสดุและวิธีการ** เป็นการทดลองในสภาวะแอกซີຟີ່ທີ່ແປ່ງກຸລຸມຕ້ວອຍ່າງອອກເປັນ 3 ກລຸ່ມ ກລຸ່ມລະ 30 ຕ້ວອຍ່າງ ໄດ້ໃຊ້ລວດເຫຼັກກຳລ້າໄວ້ສົນມີນາດ  $0.019 \times 0.025$  ນີ້່ ທີ່ມູນວິກຸດ 3 ອົງສາ ເຄີ່ນຜ່ານວ່ອງແບຣົກເກຕມາອ່ານົາຄ່າແຮງ ເສີດທານທີ່ໄດ້ຈາກເຄື່ອງລອຍດໍ່ ຢູ່ນິເວຼອ່ຣ່ແຊລເທສຕິ່ ແລ້ວທຳກາຣວິເຄຣະໜ້າຄວາມແປ່ງປວານແນບທິກທາງເດືອຍວ່ອງຄ່າ ເນື່ອແລະເປົ້າມາດ້ວຍກາຣວິເຄຣະໜ້າແກ່ມເຂົ້າມີຄວາມແຕກຕ່າງ ຄວາມເຂື່ອມ່ນ 0.05

**ผลการศึกษา** ແບຣົກເກຕດາມອນທີ່ມີຄ່າເລື່ອງແຮງເສີດທານທີ່ນ້ອຍທີ່ສຸດ ( $0.203 \pm 0.083$  ນິວຕັນ) ຮອງລົງມາເປັນສມາർທຄລິປ ( $0.297 \pm 0.074$  ນິວຕັນ) ແລະ ແບຣົກເກຕດຮຽມດາມີຄ່າເລື່ອງແຮງເສີດທານທີ່ມາກທີ່ສຸດ ( $1.865 \pm 0.404$  ນິວຕັນ) ຈາກກາຣເປົ້າມາດ້ວຍກາຣວິເຄຣະໜ້າໃນທັງ 3 ກລຸ່ມ ພບວ່າທັງ 3 ກລຸ່ມມີຄວາມແຕກຕ່າງ ອ່າຍ່າງມີນັຍສຳຄັນທາງສົດທີ່ຈະດັບ 0.05

**สรุป** ໃນສภาวะແອຄີຟີ່ ແບຣົກເກຕດາມອນທີ່ມີຄ່າເລື່ອງແຮງເສີດທານທີ່ນ້ອຍກວ່າແບຣົກເກຕ ອຮຽມດາອ່າຍ່າງມີນັຍສຳຄັນທາງສົດ ແລະ ລວມທີ່ມີຮູ່ນິເວຼອ່ຣ່ແຊລເທສຕິ່ ແລ້ວທຳກາຣວິເຄຣະໜ້າໃນທັງ 3 ກລຸ່ມ ພບວ່າ ແບຣົກເກຕດາມອນທີ່ມີຄ່າເລື່ອງແຮງເສີດທານທີ່ນ້ອຍກວ່າແບຣົກເກຕສມາർທຄລິປມີຮູ່ນິເວຼອ່ຣ່ແຊລເທສຕິ່ ແລະ ລວມທີ່ມີຮູ່ນິເວຼອ່ຣ່ແຊລເທສຕິ່ ແລະ ລວມທີ່ມີຮູ່ນິເວຼອ່ຣ່ແຊລເທສຕິ່ ແລະ ລວມທີ່ມີຮູ່ນິເວຼອ່ຣ່ແຊລເທສຕິ່

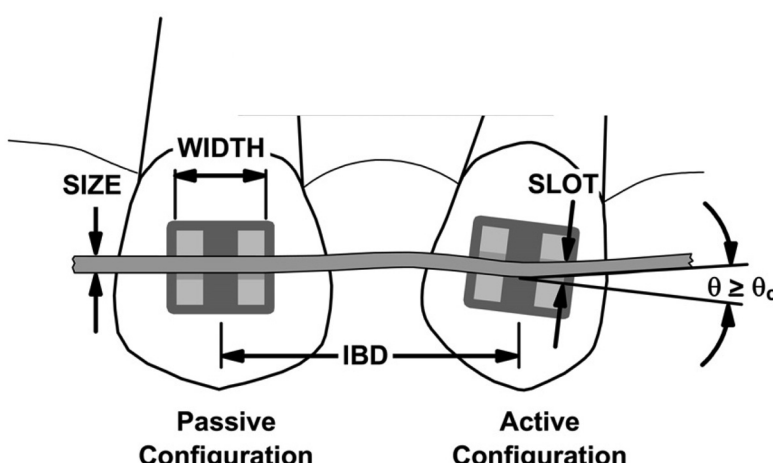
(ว.ทันตฯ 2551;31:159-69)

**คำสำคัญ:** เชลฟ์ไลเกตติ้ง; ແບຣົກເກຕแบบไร้แรง; ແບຣົກເກຕธรรมชาติ; ແຮງເສີດທານສົດ; ສภาวะແອຄີຟີ່

## บทนำ

การเคลื่อนพันโดยใช้เครื่องมือจัดพันแบบติดแน่น จำเป็นต้องอาศัยการให้แรงผ่านไปยังแบร์กเกต (bracket) ที่ยึดติดบนผิวเคลือบพันเพื่อดึงพันให้เคลื่อนไปในตำแหน่งที่ต้องการ จึงมักพบบ่อยที่พันไม่สามารถเคลื่อนไปในตำแหน่งต่างๆ ได้เนื่องมาจากแรงเสียดทานที่เกิดขึ้นในการเคลื่อนพันไปบนลวดโค้งทางทันตกรรมจัดพัน (arch wire) มีหลายปัจจัยที่มีผลต่อการเคลื่อนพัน ได้แก่ แบร์กเกต ลวด วิธีการและวัสดุที่ใช้ยึดลวดกับแบร์กเกต ตลอดจนสภาวะแวดล้อมอื่นๆ ที่เกี่ยวข้อง เมื่อลวดโค้งทางทันตกรรมจัดพันที่ใส่อยู่ในร่องแบร์กเกตได้รับแรงกระทำผ่านไปยังแบร์กเกต แรงจะถ่ายทอดสู่พันแต่ละชิ้นแรงดังกล่าวจะถ่ายทอดจากจุดศูนย์กลางของพันทำให้เกิดโมเมนต์ของแรง (moment of force) มีผลทำให้พันมีการล้มเอียง (tipping) จนกระทั่งมุนของร่องแบร์กเกตสัมผัสกับลวดในเวลาเดียวกันถึง 2 ตำแหน่ง ในขณะที่อีกระบบหนึ่งพันจะมีการหมุน (rotation) เล็กน้อยจนกระทั่งลวดโค้งทางทันตกรรมจัดพันสัมผัสกับฐานของร่องแบร์กเกต และฝ่าปิดทางด้านหน้าของแบร์กเกตหรือลวดผูกมัด (ligature

wire) มุมที่ลวดโค้งทางทันตกรรมจัดพันเริ่มมีการสัมผัสนอกแบร์กเกตนี้เรียกว่ามุมวิกฤต (critical angle) และสภาวะที่ลวดโค้งทางทันตกรรมจัดพันและร่องแบร์กเกตสัมผัสนอกในลักษณะที่มีมุมวิกฤตเกิดขึ้นเรียกว่าสภาวะแอคตีฟ (active configuration) (รูปที่ 1) การเคลื่อนที่ของพันจะเกิดขึ้นทันทีที่มีแรงกระทำที่แบร์กเกตและเกิดก่อนที่จะมีการเลื่อนไถของพันเนื่องจากพันอยู่ในกรอบปากเปล่าพันที่ยึดอยู่ด้วยเอ็นยีดบริทันต์ (periodontal ligament) ที่ยึดหุ้นได้ เมื่อพันเริ่มเลื่อนไถไปบนลวดโค้งทางทันตกรรมจัดพัน ถ้าลวดโค้งทางทันตกรรมจัดพันจะมีความแข็งตึง (stiffness) เพียงพอจะไม่เกิดการผิดรูป (deform) ทำให้พันจะยังคงรักษาสภาวะการล้มเอียงและหมุนเล็กน้อยในขณะที่มีการเลื่อนไถอย่างต่อเนื่องไปบนลวดโค้งทางทันตกรรมจัดพัน โดยปกติเมื่อพันได้รับแรงที่เหมาะสมในการเคลื่อนพัน พันจะเคลื่อนเป็นระยะทางประมาณ 1 มิลลิเมตรต่อเดือนหรือ  $0.23 \times 10^{-4}$  มิลลิเมตรต่อนาที ดังนั้นจากการเคลื่อนที่ที่ซ้ำมากในลักษณะดังกล่าวทำให้ค่าแรงเสียดทานจลน์ (kinetic friction) มีค่าใกล้เคียงหรือเหมือนกับค่าแรงเสียดทานสถิต (static friction)<sup>2</sup>



IBD = inter bracket distance
$\theta$ = angle
$\theta_c$ = critical angle

รูปที่ 1 แสดงสภาวะพาลสิฟและแอคตีฟในระหว่างที่มีกลไกการเลื่อนไถ

Fig. 1 demonstrates passive and active configuration in sliding mechanic.

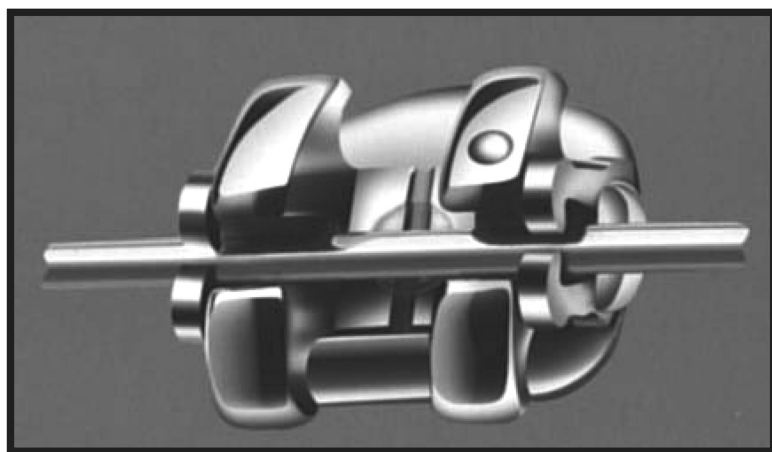
ในปัจจุบันได้มีการพัฒนาแบบรีกเกต ในรูปแบบใหม่ เพื่ออำนวยความสะดวกให้แก่ทันตแพทย์จัดฟัน โดยใช้กลไกชี้นิ้วของแบบรีกเกตเองที่สามารถเปิดและปิดร่องแบบรีกเกตทางด้านหน้าของแบบรีกเกตโดยไม่ต้องใช้การมัดลวดโค้งทางทันตกรรมจัดฟันให้อยู่ในร่องแบบรีกเกตด้วยลวดผูกมัดหรือวงอีเลสโทเมอร์ ที่เรียกว่า เชลฟ์ไลเกตติ้งแบบรีกเกต (self-ligating bracket)<sup>3</sup> ซึ่งกลไกของแบบรีกเกตชนิดนี้แตกต่างกันไปในแบบรีกเกตแต่ละแบบ ซึ่งขึ้นอยู่กับบริษัทผู้ผลิตเชลฟ์ไลเกตติ้งแบบรีกเกต สามารถแบ่งออกได้เป็น 2 กลุ่มใหญ่ๆ ตามรูปแบบของแรงกระทำ (mode of action) ที่แบบรีกเกตมีต่อสันหลังโค้งทางทันตกรรมจัดฟัน<sup>4</sup> ได้แก่

1. เชลฟ์ไลเกตติ้งแบบรีกเกตแบบไร้แรง (passive) เป็นแบบรีกเกตที่มีฝาปิด-เปิด หรือคลิปปิดลวดทางด้านหน้าที่ไม่ได้ส่งแรงกดลงไปยังลวดโค้งทางทันตกรรมจัดฟัน เช่น แบบรีกเกตในระบบdamon (DAMON®, Ormco, U.S.A.) สมาร์ทคลิป (SmartClip®, 3M Unitek, U.S.A.)

2. เชลฟ์ไลเกตติ้งแบบรีกเกตแบบมีแรง (active) เป็นแบบรีกเกตที่จะส่งแรงกดไปยังลวดโค้งทางทันตกรรมจัดฟัน เพื่อให้อչญายในร่องแบบรีกเกต เช่น แบบรีกเกตสปีด (SPEED, Strite Industries Limited, Canada)

เชลฟ์ไลเกตติ้งแบบรีกเกตระบบสมาร์ทคลิป ได้รับการพัฒนารูปแบบต่อมาจากแบบรีกเกตในเครื่องมือระบบ MBT

Versatile+ โดยยึดหลักปรัชญาที่ว่า มีคุณประโยชน์ใช้สอยมาก (maximum versatility) เป็นแบบรีกเกตปีกคู่ขนาดกลาง (mid-size twin bracket) มีการกำหนดการใช้งาน (bracket prescription) และให้แรงในขนาดที่เบา (use of light force) เป็นแบบรีกเกตสมาร์ทคลิปที่ใช้กลไกจาก นิทินอลคลิป (nitinol clip) 2 ตัวที่อยู่บนแบบรีกเกตทำหน้าที่ปิด-เปิดแบบยึดหยุ่นเพื่อรองรับเส้นลวดโค้งทางทันตกรรมจัดฟันที่จะใส่เข้าในร่องแบบรีกเกต โดยที่ไม่มีประตูบานเลื่อน (sliding door) หรือล็อก (latch) (รูปที่ 2) เพราะเชื่อว่าประตูบานเลื่อนหรือล็อกนี้จะทำให้เกิดปัญหาต่างๆ เช่น การติดของประตูบานเลื่อนทำให้ปิดไม่ออก หรือการที่ประตูบานเลื่อนปิดด้วยอยู่ตลอดเวลา หรือการเกิดการสะสมของแผ่นคราบจุลินทรีย์บนประตูบานเลื่อนนี้จากกล่าวได้ว่าแบบรีกเกตสมาร์ทคลิปนี้เป็นเชลฟ์ไลเกตติ้งแบบรีกเกตอย่างแท้จริง (true self-ligating bracket) เนื่องจากคลิปจะปิดตัวเองโดยอัตโนมัติในทันทีที่ได้เส้นลวดโค้งทางทันตกรรมจัดฟันเข้าในร่องแบบรีกเกต โดยที่ไม่ต้องปิดประตูบานเลื่อนในภายหลังเหมือนเชลฟ์ไลเกตติ้งแบบรีกเกตชนิดอื่น นอกจากนี้จากการที่แบบรีกเกตสมาร์ทคลิปเป็นแบบรีกเกตแบบคู่อย่างแท้จริง (true twin design) แล้วยังทำให้ทันตแพทย์มีทางเลือกในการยึดเส้นลวดโค้งทางทันตกรรมจัดฟันให้เข้ากับร่องแบบรีกเกตเพียงครึ่งเดียวด้วยลวดผูกมัดหรือยางวงอีเลสโทเมอร์ที่ใช้ทั่วไปในกรณีที่ฟันมีการซ้อนเกือบอย่างมาก<sup>5</sup>



รูปที่ 2 แบบรีกเกตสมาร์ทคลิปที่มีนิทินอลคลิป 2 ตัว

Fig. 2 The SmartClip® bracket with two nitinol clips

เซลฟ์ไลเกตติ้งแบร์กเกตระบบ Damon ได้ถูกคิดค้นและพัฒนาโดย Dr. Dwight Damon โดยชนิดแรก คือ Damon SL โดยนิวเคลียร์ SL I ในปี ค.ศ. 1996<sup>6</sup> ต่อมาในปี ค.ศ. 2000 ได้พัฒนาต่อมาเป็น Damon Damon SL II ที่ได้ใช้กันอย่างแพร่หลาย และในปี ค.ศ. 2004 ได้พัฒนามาเป็น Damon 3 และล่าสุดเมื่อปี ค.ศ. 2005 เป็นแบร์กเกตดามอนทรีเอ็มเอ็กซ์ (Damon 3MX) ซึ่งเป็นแบร์กเกตรุ่นล่าสุดในระบบของ Damon โดยจะมีลักษณะของประตูบานเลื่อน ซึ่งถือเป็นผังด้านที่ 4 ของร่องแบร์กเกตที่สามารถบังคับให้ลวดโค้งทางทันตกรรมจัดฟันอยู่ภายใต้ร่องแบร์กเกต ทำให้ร่องแบร์กเกตมีลักษณะคล้ายห่อ (tube) (รูปที่ 3) ซึ่งจะทำให้เครื่องมือในระบบนี้เป็นเครื่องมือแบบไร้แรง (passive appliance)<sup>7</sup>

ประโยชน์ของการใช้เซลฟ์ไลเกตติ้งแบร์กเกตที่ผู้ผลิตนำมาอ้างเปรียบเทียบกับการใช้แบร์กเกตธรรมด้า (conventional bracket) มีอยู่หลายข้อ แต่ที่ชัดเจนและเป็นคุณประโยชน์หลักของการเลือกใช้เซลฟ์ไลเกตติ้งแบร์กเกตคือ ความสะดวกสบายของทันตแพทย์ที่ไม่จำเป็นต้องเสียเวลาในการยึดลวดโค้งทางทันตกรรมจัดฟันเข้ากับร่องแบร์กเกตด้วยลวดผูกมัดหรือยางวงอี拉斯โทเมอร์ แต่ในปัจจุบันมักมีการกล่าวถึงประโยชน์อีกลักษณะหนึ่ง คือ การที่เซลฟ์ไลเกตติ้งแบร์กเกต มีแรงเสียดทานที่น้อยกว่าแบร์กเกตธรรมด้า<sup>8</sup> ซึ่งประโยชน์ของลักษณะนี้ทำให้ทันตแพทย์จัดฟันสามารถใช้แรงในการเคลื่อนฟันอย่างเหมาะสม (optimal force) ไม่ก่อให้เกิดอันตรายต่อเนื้อเยื่อรอบปลายรากฟัน (periapical tissue) และทำให้เกิดการเคลื่อนฟันที่มากที่สุด<sup>9</sup>

มีนักวิจัยหลายท่านศึกษาเปรียบเทียบแรงเสียดทานระหว่างแบร์กเกตธรรมด้าและเซลฟ์ไลเกตติ้งแบร์กเกต โดยผลการศึกษาต่างๆ แสดงผลลัพธ์ไปในทางเดียวกันว่า เซลฟ์ไลเกตติ้งแบร์กเกตมีแรงเสียดทานที่น้อยกว่าแบร์กเกตธรรมด้า<sup>1,10-15</sup> และมีการศึกษาเปรียบเทียบระหว่างเซลฟ์ไลเกตติ้งแบร์กเกตแบบบีร์เรงและแบบมีแรงพบว่า เซลฟ์ไลเกตติ้งแบร์กเกตแบบบีร์เรงมีแรงเสียดทานที่น้อยกว่าแบบมีแรง<sup>10,13,15</sup> ในขณะที่ยังไม่มีการศึกษาเปรียบเทียบเพื่อหาแรงเสียดทานระหว่างสมาร์ทคลิปและดามอนทรีเอ็มเอ็กซ์ที่เป็นแบบบีร์เรงเหมือนกัน ซึ่งเซลฟ์ไลเกตติ้งแบร์กเกตทั้ง 2 ชนิดนี้ได้มีบริษัทนำเข้ามาจัดจำหน่ายและใช้ภายในประเทศไทยได้ระยะเวลานานแล้ว ดังนั้นการศึกษาวิจัยในครั้งนี้จึงเป็นการเปรียบเทียบแรงเสียดทานระหว่างเซลฟ์ไลเกตติ้งแบร์กเกตแบบบีร์เรง 2 ชนิด คือ แบร์กเกตสมาร์ทคลิปและดามอนทรีเอ็มเอ็กซ์ ขณะที่มีการเคลื่อนแบบเลื่อนไอล์ลในลักษณะล้มเอียงภายใต้มุมวิกฤต โดยทดลองในห้องปฏิบัติการเพื่อนำผลที่ได้มาขยายให้ทันตแพทย์จัดฟันสามารถเลือกใช้แบร์กเกตชนิดเซลฟ์ไลเกตติ้งแบร์กเกตในเครื่องมือจัดฟันชนิดติดแน่นในผู้ป่วยได้อย่างเหมาะสมสมดุลไป

## วัสดุและวิธีการ

### กลุ่มตัวอย่าง

ในการศึกษาครั้งนี้กลุ่มตัวอย่างประกอบด้วย เซลฟ์ไลเกตติ้งแบร์กเกตแบบบีร์เรง 2 ชนิด และแบร์กเกตธรรมด้า 1 ชนิด แต่ละชนิดมีจำนวน 30 ตัวอย่าง โดยลวดที่ใช้ทดสอบค่าแรงเสียดทานดังนี้



รูปที่ 3 แบร์กเกตดามอนทรีเอ็มเอ็กซ์ที่มีประตูบานเลื่อน

Fig. 3 The Damon 3MX bracket with sliding door

1. เชลฟ์ไลเกตติ้งแบร์กเกตแบบบ้าเร็งสำหรับฟันเขี้ยวขนาด 0.022 นิ้ว x 0.028 นิ้ว คือ แบร์กเกตตามอนทรีเอ้มเอ็กซ์ จำนวน 30 ตัวอย่าง

2. เชลฟ์ไลเกตติ้งแบร์กเกตแบบบ้าเร็งสำหรับฟันเขี้ยวขนาด 0.022 นิ้ว x 0.028 นิ้ว คือ แบร์กเกตสมาร์ทคลิป จำนวน 30 ตัวอย่าง

3. แบร์กเกตเหล็กกล้าไร้สนิมธรรมดางานสำหรับฟันเขี้ยวขนาด 0.022 นิ้ว x 0.028 นิ้ว คือ แบร์กเกตเจมินี จำนวน 30 ตัวอย่าง

4. ลวดเหล็กกล้าไร้สนิมขนาด 0.019 x 0.025 นิ้ว (Stainless steel, 3M Unitek, U.S.A.) จำนวน 90 เส้น

ทำการวัดความสูงของร่องแบร์กเกต ความกว้างในแนวไกลักษณ์-ไกลักษณ์ของแบร์กเกตและความสูงลวดจำนวนชนิดละ 5 ตัวอย่างด้วยกล้องจุลทรรศน์อิเล็กตรอนแบบส่องกราด (scanning electron microscope) เพื่อคำนวณหาค่ามุนวิกฤตและกำหนดมุมกระทำระห่วงลวดและแบร์กเกตจากสมการดังนี้<sup>6</sup>

$$\text{มุมวิกฤต} = \frac{57.32}{(\text{CLEARANCE INDEX})} - (\text{BRACKET INDEX})$$

CLEARANCE INDEX = 1-ENGAGEMENT INDEX

ENGAGEMENT INDEX = ขนาดลวดในแนวตั้ง/ขนาดร่องแบร์กเกตในแนวตั้ง

BRACKET INDEX = ขนาดความกว้างแบร์กเกตในแนวไกลักษณ์-ไกลักษณ์/ ขนาดร่องแบร์กเกตในแนวตั้ง

ตารางที่ 1 แสดงค่าเฉลี่ยความสูงร่องแบร์กเกต ความกว้างแบร์กเกต และค่ามุนวิกฤตในแบร์กเกตทั้ง 3 ชนิด

**Table 1** Mean of height of bracket slot, width of bracket and critical angle of three bracket types

Bracket types	Height of bracket slot (mm.)	Width of bracket (mm.)	Critical angle (degree)
Damon 3MX	0.595	2.844	2.362
Smartclip	0.616	3.815	2.002
Gemini	0.560	3.400	1.379

จากการวัดขนาดของแบร์กเกต ร่องแบร์กเกตและความสูงของลวดด้วยกล้องจุลทรรศน์อิเล็กตรอนแบบส่องกราด พบว่าความสูงเฉลี่ยของร่องแบร์กเกตตามอนทรีเอ้มเอ็กซ์เท่ากับ 0.595 มิลลิเมตร ในขณะที่ความสูงเฉลี่ยของร่องแบร์กเกตสามารถทคลิปเท่ากับ 0.616 มิลลิเมตร สูงกว่าแบร์กเกตตามอนทรีเอ้มเอ็กซ์อยู่ 0.021 มิลลิเมตร ส่วนความกว้างในแนวไกลักษณ์และไกลักษณ์พบว่า ความกว้างเฉลี่ยของแบร์กเกตตามอนทรีเอ้มเอ็กซ์เท่ากับ 2.844 มิลลิเมตร ในขณะที่แบร์กเกตสามารถทคลิปมีความกว้างเท่ากับ 3.815 มิลลิเมตรกว้างกว่าแบร์กเกตตามอนทรีเอ้มเอ็กซ์อยู่ 0.971 มิลลิเมตร ความสูงเฉลี่ยของลวดมีค่าเท่ากับ 0.478 มิลลิเมตรจากขนาดของแบร์กเกต ร่องแบร์กเกตและความสูงของลวดดังกล่าวเมื่อนำมาคำนวณหาค่ามุนวิกฤต พบร่วมแบร์กเกตตามอนทรีเอ้มเอ็กซ์ แบร์กเกตสมาร์ทคลิปและแบร์กเกตเจมินี มีค่ามุนวิกฤต 2.362 2.002 และ 1.379 องศาตามลำดับ (ตารางที่ 1)

ดังนั้นจึงกำหนดมุมกระทำในการทดลองครั้งนี้ที่ 3 องศา ในทุกๆ กลุ่มตัวอย่าง จากนั้นทำการสร้างตัวกำหนดตำแหน่งแบร์กเกตเพื่อให้ร่องแบร์กเกตในทุกกลุ่มตัวอย่างอยู่ในตำแหน่งและระนาบเดียวกัน จากนั้นนำไปทดสอบหาค่าแรงเสียดทานสถิตด้วยเครื่องถอยด้วยนิวเคลียร์เซลล์ทesting (Lloyd universal testing machine) โดยกำหนดมุมกระทำระหว่างร่องแบร์กเกตกับลวดเหล็กกล้าไร้สนิมขนาด 0.019 x 0.025 นิ้ว ที่ 3 องศา โดยแบร์กเกตเจมินีที่เป็นแบร์กเกตธรรมดาก็จะยืดลวดด้วยการใช้ห่วงอีลัสโตร์ อ่านค่าแรงเสียดทานสถิตที่ได้จากการฟันว่าเป็นนิวตันแล้วบันทึกผลจนครบทุกกลุ่มตัวอย่าง

ทำการทดสอบความน่าเชื่อถือของผู้อ่านค่าโดยเฉลี่ย จุดสูงสุดของเส้นกราฟที่ปรากฏจากเครื่องลงทะเบียนอุณหภูมิ เทสติ้ง ภายหลังจากที่ทำการอ่านค่าและบันทึกผลในครั้งแรก แล้ว 1 เดือนถัดมา จึงทำการอ่านค่าอีกครั้งหนึ่งนำผลที่ได้จากการอ่านค่าในทั้งสองครั้งมาเปรียบเทียบความสัมพันธ์ของค่าที่อ่านได้ด้วยวิเคราะห์ความสัมพันธ์เพียร์สัน (Pearson correlation) และทดสอบความแตกต่างของค่าที่อ่านได้ด้วยสถิติที่ (paired T-test) และทดสอบด้วยสูตรของดาลเบิร์ก (Dahlberg's formula)  $\sqrt{(\sum d^2/2n)}$  จากนั้นทำการวิเคราะห์ข้อมูลค่าแรงเสียดทานสถิติตัวอย่างโดยโปรแกรมสำเร็จรูปเอสพีเอสเอสสำหรับวินโดว์สเวอร์ชัน 11.5 (SPSS for Windows, version 11.5) เพื่อคำนวณค่าเฉลี่ยของแรงเสียดทานสถิติทั้ง 3 กลุ่มตัวอย่าง และวิเคราะห์ความแปรปรวนแบบทิศทางเดียว (One way analysis of variance) ที่ระดับนัยสำคัญ 0.05 และสถิติการเปรียบเทียบพหุคุณ (Multiple comparison test) ด้วยวิธีแทนเงนทีทู (Tamhane's T2)

## ผลการศึกษา

การทดสอบบัดความน่าเชื่อถือของผู้อ่านจากการวิเคราะห์ความสัมพันธ์เพียร์สันและสถิติที่พบว่าการวัดค่ามีความสัมพันธ์ไปในทิศทางเดียวกันและไม่มีแตกต่างอย่างมีนัยสำคัญทางสถิติ

ที่ระดับนัยสำคัญ 0.05 ( $r = 0.999$ ) ( $P = 0.13$ ) และจากการทดสอบด้วยสูตรของดาลเบิร์กที่  $n = 30$  พบว่าค่าที่คำนวณมาได้มีค่าเท่ากับ 0.02 นิวตัน ซึ่งมีขนาดที่ไม่มากกว่าค่าความผิดพลาดที่จะเกิดจากการอ่านค่าที่ได้จากเครื่องลงทะเบียนที่มีค่าเท่ากับ 0.02 นิวตัน<sup>17</sup> จากการทดสอบดังกล่าว ทั้งหมดจึงสรุปว่าผู้อ่านมีความน่าเชื่อถือในการวัดค่า

จากการวัดค่าแรงเสียดทานสถิติของแต่ละกลุ่มสามารถคำนวณเพื่อหาค่าเฉลี่ย (mean) ของขนาดแรงเสียดทานสถิติ ส่วนเบี่ยงเบนมาตรฐาน (standard deviation) ค่าน้อยที่สุด (minimum) และค่ามากที่สุด (maximum) ของแรงเสียดทานสถิติใน 3 กลุ่มตัวอย่าง ได้แก่ แบร์กเกตตามอนทรีโอเมเน็กซ์ สมาร์ทคลิป และเจมินี (ตารางที่ 2)

จากการทดลองพบว่า ค่าเฉลี่ยของขนาดแรงเสียดทานสถิติในแบร์กเกตตามอนทรีโอเมเน็กซ์มีค่าน้อยที่สุด คือ  $0.203 \pm 0.083$  นิวตัน ถัดมาเป็นสมาร์ทคลิป คือ  $0.297 \pm 0.074$  นิวตัน และแบร์กเกตเจมินีที่เป็นกลุ่มควบคุมจะมีค่าเฉลี่ยแรงเสียดทานสถิติที่มากที่สุด คือ  $1.865 \pm 0.404$  นิวตัน

จากการวิเคราะห์ค่าเฉลี่ยของแรงเสียดทานสถิติทั้ง 3 กลุ่มตัวอย่างโดยใช้สถิติการวิเคราะห์ความแปรปรวนแบบทิศทางเดียว พบว่ามีความแตกต่างกันอย่างมีนัยสำคัญที่ระดับ 0.05 จึงทำการวิเคราะห์ด้วยสถิติแทนเงนทีทู เพื่อ

**ตารางที่ 2** ค่าเฉลี่ยของขนาดแรงเสียดทานสถิติ ส่วนเบี่ยงเบนมาตรฐาน ค่าน้อยที่สุด และค่ามากที่สุดของแบร์กเกต (นิวตัน) ในกลุ่มตัวอย่าง 3 กลุ่ม

**Table 2** Mean, standard deviation, minimum and maximum (newtons) of the static frictional resistance of three bracket types

Bracket types	Mean (N)	Standard Deviation (N)	Minimum (N)	Maximum (N)
Damon 3 MX (n = 30)	0.203	0.083	0.079	0.398
Smartclip (n = 30)	0.297	0.074	0.197	0.410
Gemini (n = 30)	1.865	0.404	1.060	2.864

พิจารณาค่าเฉลี่ยของแรงเสียดทานสติกิตในแบร์กเกตคู่ใดที่แตกต่างกัน (ตารางที่ 3) พบร่วมค่าเฉลี่ยของแรงเสียดทานสติกิตระหว่างแบร์กเกต ตามอนทรีเอ็มເອັກໜີ້ສະມາດຮັບຄົນປິມຄວາມແຕກຕ່າງອ່າງມືນຍໍສຳຄັນທາງສົດຕິ ທີ່ຈຶ່ງຜົດຕ່າງຂອງຄ່າເຊີ່ຍຂອງแรงเสียดทานສົດຕິຮ່ວງແບຣັກເກຕທັງ 2 ຊົນດິນ້ອູ່ໃນຊ່າງ 0.044 – 0.144 ນິວຕັນ ທີ່ຮະດັບຄວາມເຊື່ອມິ່ນ້ອັຍລະ 95 ດ້ວຍຄ່າເຊີ່ຍຂອງแรงเสียดทานສົດຕິຮ່ວງແບຣັກເກຕດາມອນທີ່ເອັກເອັກໜີ້ສະມາດແຕກຕ່າງອ່າງມືນຍໍສຳຄັນທາງສົດຕິ ທີ່ຈຶ່ງຜົດຕ່າງຂອງຄ່າເຊີ່ຍຂອງแรงเสียดทานສົດຕິຮ່ວງແບຣັກເກຕທັງ 2 ຊົນດິນ້ອູ່ໃນຊ່າງ 1.473 – 1.852 ນິວຕັນ ທີ່ຮະດັບຄວາມເຊື່ອມິ່ນ້ອັຍລະ 95 ແລະ ດ້ວຍຄ່າເຊີ່ຍຂອງแรงเสียดทานຮ່ວງແບຣັກເກຕສົດຕິ ທີ່ຈຶ່ງຜົດຕ່າງຂອງດ້ວຍຄ່າເຊີ່ຍຂອງแรงเสียดทานສົດຕິຮ່ວງແບຣັກເກຕທັງ 2 ຊົນດິນ້ອູ່ໃນຊ່າງ 1.380 – 1.758 ນິວຕັນ ທີ່ຮະດັບຄວາມເຊື່ອມິ່ນ້ອັຍລະ 95

## วิจารณ์

การศึกษาในครั้งนี้ได้ทำการทดลองหาค่าแรงเสียดทานสติกิตที่เกิดขึ้นจากการเคลื่อนไหแบบเลื่อนໄດ້ຮ່ວງແບຣັກເກຕ ກັບລວດເຫຼັກກຳລ້າໄວ້ສົນມີກາຍໃຫ້ສຳພາວະແກອດຝີຟ ທີ່ຈຶ່ງໄດ້ມີກາຣົມວັນຫາຄ່າມຸນວິກຸດທີ່ມີໃນແບຣັກເກຕແຕ່ລະໜິນິດແລ້ວທຳກາຣເພີ່ມອົງຄານ້າອື່ອເພື່ອໃຫ້ແນ່ໃຈວ່າ ແບຣັກເກຕທຸກໜິນິດທີ່ໃຫ້ໃນກາຣທົດລອງຈະອູ່ງໝາຍໃຫ້ສຳພາວະແກອດຝີຟນີ້ທີ່ໜ່າມ ຈາກກາຣົມວັນຫາ ດ້ວຍຄ່າມຸນວິກຸດໃນແບຣັກເກຕອົງກົດສົດຕິທີ່ມີຄວາມແມ່ນຢໍາແລະ ນໍາເຊື່ອດື່ອໃນກາຣວັດແລະອ່ານຄ່າ ຮວມທັງກາຣເຄື່ອນພັນກາຍ ພັລັງໄດ້ຮັບແຮງທາງທັນຕກຽມຈັດພັນທີ່ເໝາະສມະເກີດກາຣເຄື່ອນທີ່ເປັນຮະຍະທາງທີ່ນ້ອຍມາກ ດື່ອ 0.23  $\times 10^{-4}$  ມິລິລິມິຕຣີ ຕ່ອນາທີ່ ດັ່ງນັ້ນຈາກກາຣເຄື່ອນທີ່ທີ່ຫ້າມາກໃນລັກຜະນະດັ່ງກ່າວ ທຳໄຫ້ຄ່າແຮງເສີ່ຍດານຈຸດນີ້ມີຄວາມໄກລ໌ເດີຍຫຼືເທົ່າກັບຄ່າແຮງເສີ່ຍດານສົດຕິ ທີ່ສົດຄົລ້ອງກັບກາຣົມວັນຫາທີ່ຜ່ານມາ<sup>18</sup>

ແບຣັກເກຕດາມອນທີ່ເອັກເອັກໜີ້ໄດ້ຄ່າມຸນວິກຸດເປັນ 1.379 2.002 ແລະ 2.362 ອົງຄາຕາມລຳດັບ ຈຶ່ງໄດ້ກຳນົດມຸນທີ່ໃຫ້ໃນທຸກແບຣັກເກຕເທົ່າກັບ 3 ອົງຄາ ທີ່ມາກກວ່າຄ່າທີ່ກຳນົດໄດ້ເພື່ອໃໝ່ໄກລ໌ເຄີຍຄ່າມຸນວິກຸດທີ່ເກີດຂຶ້ນຈົງແລະສົດຄົລ້ອງກັບກາຣົມວັນຫາທີ່ຜ່ານມາ ທີ່ພບວ່າຄ່າມຸນວິກຸດຈາກກາຣົມວັນຫາຈະມີຄ່ານ້ອຍກວ່າຄ່າມຸນວິກຸດທີ່ເກີດຂຶ້ນຈົງ<sup>13</sup> ກາຣເລືອກໃຊ້ຄ່າແຮງເສີ່ຍດານສົດຕິໃນກາຣົມວັນຫາຮ່ວງແບຣັກເກຕທີ່ເກີດຂຶ້ນໃນແບຣັກເກຕແຕ່ລະໜິນິດ ເປັນຈຸດທີ່ມີຄວາມແມ່ນຢໍາແລະນໍາເຊື່ອດື່ອໃນກາຣວັດແລະອ່ານຄ່າ ຮວມທັງກາຣເຄື່ອນພັນກາຍ ພັລັງໄດ້ຮັບແຮງທາງທັນຕກຽມຈັດພັນທີ່ເໝາະສມະເກີດກາຣເຄື່ອນທີ່ເປັນຮະຍະທາງທີ່ນ້ອຍມາກ ດື່ອ 0.23  $\times 10^{-4}$  ມິລິລິມິຕຣີ ຕ່ອນາທີ່ ດັ່ງນັ້ນຈາກກາຣເຄື່ອນທີ່ທີ່ຫ້າມາກໃນລັກຜະນະດັ່ງກ່າວ ທຳໄຫ້ຄ່າແຮງເສີ່ຍດານຈຸດນີ້ມີຄວາມໄກລ໌ເດີຍຫຼືເທົ່າກັບຄ່າແຮງເສີ່ຍດານສົດຕິ ທີ່ສົດຄົລ້ອງກັບກາຣົມວັນຫາທີ່ຜ່ານມາ<sup>18</sup>

ຈາກຄ່າມຸນວິກຸດຈະພບວ່າ ແບຣັກເກຕດາມອນທີ່ເອັກເອັກໜີ້ ຈະມີຄ່າມຸນວິກຸດປະປາມານ 2.362 ອົງຄາ ໃນຂະນະທີ່ແບຣັກເກຕ ສມາດຮັບຄົນປະມີຄ່າມຸນວິກຸດປະປາມານ 2.002 ອົງຄາ ແບຣັກເກຕ ທີ່ມີມຸນວິກຸດທີ່ມາກກວ່າຈະທຳໄຫ້ເກີດຮະປລອດ (clearance) ໃນກາຣລັ້ມເອີ່ຍທີ່ມາກກວ່າ ທຳໄຫ້ເມື່ອເກີດກາຣເຄື່ອນທີ່ໄປບັນລຸດແຮງເສີ່ຍດານທີ່ເກີດຂຶ້ນຈຶ່ງມີຂາດທີ່ນ້ອຍກວ່າ ຈາກກາຣທີ່ ຂາດຂອງແບຣັກເກຕສົ່ງຜົດຖື່ນີ້ຄ່າມຸນວິກຸດທີ່ຈະມີຜົດຕ່ອ່າງ ເສີ່ຍດານສົດຕິແບຣັກເກຕສມາດຮັບຄົນປະມີແນວໃນໜີ່ນ້າຈະເກີດແຮງເສີ່ຍດານທີ່ມາກກວ່າເມື່ອລັ້ມເອີ່ຍທຳມຸນໃນອົງຄາເດີຍກັນ ແລະຈາກພົກກາຣທົດລອງພບວ່າ ແບຣັກເກຕດາມອນທີ່ເອັກເອັກໜີ້ມີຄ່າເຊີ່ຍຂອງແຮງເສີ່ຍດານທີ່ນ້ອຍກວ່າແບຣັກເກຕສມາດຮັບຄົນປະມີ ດື່ອ

ตารางที่ 3 ผลการวิเคราะห์ค่าเฉลี่ยของแรงเสียดทานสติกิตด้วยสติกิต Tamhane's T2

TYPE	TYPE	Sig.	95% Confidence Interval	
			Lower Bound	Upper Bound
Damon 3MX	Smartclip	.000	-0.144	-0.044
	Control	.000	-1.852	-1.473
Smartclip	Damon 3MX	.000	0.044	0.144
	Control	.000	-1.758	-1.380
Control	Damon 3MX	.000	1.473	1.852
	Smartclip	.000	1.380	1.758

0.203 และ 0.297 นิวตัน ตามลำดับ ทั้งนี้อาจจะเนื่องมาจากการออกแบบระบบในการยึดจับลวดที่แตกต่างกัน กล่าวคือ ในแบบรีกเกตตามอนทเรียมเอ็กซ์ได้ใช้ระบบในการยึดจับลวดแบบที่เป็น fasilit-pid-ปิดในลักษณะที่เป็นบานเลื่อน ในขณะที่แบบรีกเกตสมาร์ทคลิปใช้ระบบในการยึดจับลวดแบบคลิปหนีบที่ด้านข้างทั้ง 2 ข้างของตัวแบบรีกเกต ซึ่งเมื่อไส้ลวดลงไปในร่องแบบรีกเกตสมาร์ทคลิป ลวดจะต้องถูกกดและเบี้ยดให้คลิปที่ทำมาจากนิกเกลไหลเทเนียมนี้อ้าออกเพื่อรับลวดให้เข้าไปอยู่ภายในร่องแบบรีกเกต ซึ่งถ้าลวดมีขนาดใหญ่ ( $0.019 \times 0.025$  นิว) ที่ใช้ในการศึกษานี้พบว่า การกดให้ลวดผ่านคลิปเข้าไปภายในร่องแบบรีกเกตนั้นต้องอาศัยแรงในการกดที่มากพอสมควร ทำให้ลวดเหล็กกล้าไร้สนิมเกิดรอยครุณ์ขึ้นจากคลิปทั้งสองข้าง ทำให้เมื่อเคลื่อนลวดที่มีรอยครุณ์ผ่านร่องแบบรีกเกตอาจจะทำให้เกิดแรงเสียดทานที่เพิ่มขึ้นได้ ในขณะที่แบบรีกเกตตามอนทเรียมเอ็กซ์ใช้ลักษณะของการเปิดปิดบานเลื่อนในการยึดจับลวด ทำให้ลวดไม่เกิดรอยเหมือนแบบรีกเกตสมาร์ทคลิป จึงให้ผลแรงเสียดทานที่น้อยกว่า เมื่อเปรียบเทียบแรงเสียดทานระหว่างแบบรีกเกตธรรมดากับเซลฟ์ไลเกตติงแบบรีกเกตพบว่า แบบรีกเกตธรรมดามีแรงเสียดทานที่มากกว่า เซลฟ์ไลเกตติงแบบรีกเกต เพราะแบบรีกเกตธรรมดามีแรงกดที่ลวดจากการมัดด้วยยางอีลาสติกที่เมอร์เพื่อให้ลวดอยู่ภายในร่องแบบรีกเกต ซึ่งต่างจากเซลฟ์ไลเกตติงแบบรีกเกตทั้ง 2 ชนิดที่ไม่มีการมัดในลักษณะดังกล่าวทำให้แรงเสียดทานที่พบมีขนาดที่น้อยกว่า

มีการศึกษาในอดีตที่ทำการทดลองเปรียบเทียบแรงเสียดทานในการเคลื่อนที่ในลักษณะอ่อนน้อมกว่า การเคลื่อนที่แบบหมุนแบบรีกเกตตามอนทเรียมเอ็กซ์มีแรงเสียดทานที่มากกว่าแบบรีกเกตสมาร์ทคลิป ในขณะที่ไม่มีความแตกต่างกันของการเคลื่อนที่แบบอินทรูชัน (intrusion) และพบว่าแบบรีกเกตตามอนทเรียมเอ็กซ์มีแรงเสียดทานที่มากกว่าแบบรีกเกตสมาร์ทคลิปในลักษณะการเคลื่อนที่แบบทอร์ก (torque) ทั้งนี้เนื่องจากความสูงร่องแบบรีกเกตและความกว้างแบบรีกเกตที่แตกต่างกัน<sup>18</sup> และจากการทดลองในสภาวะพาสซีฟ (passive configuration) พบว่า แบบรีกเกตทั้ง 2 ชนิดมีแรงเสียดทานที่ไม่แตกต่างกัน<sup>19</sup>

การศึกษาเรื่องแรงเสียดทานที่เกิดขึ้นในขณะเคลื่อนพันส่วนมากจะเป็นการศึกษาในห้องปฏิบัติการ โดยเปรียบเทียบค่าแรงเสียดทานสถิติระหว่างลวดและแบบรีกเกตรูปแบบต่างๆ ซึ่งแต่ละบริษัทได้ผลิตรูปแบบของเซลฟ์ไลเกตติงแบบรีกเกตแตกต่างกัน จึงเป็นปัจจัยที่มีผลต่อแรงเสียดทานโดยเฉพาะในสภาวะ例外ติฟ เช่น ขนาดของแบบรีกเกต รูปแบบการผลิตซึ่งส่วนของ การยึดจับลวดที่แตกต่างกัน ซึ่งจะเป็นข้อจำกัดในการเปรียบเทียบค่าแรงเสียดทานของแบบรีกเกตแต่ละบริษัท จึงเสนอแนะให้ทำการศึกษาเปรียบเทียบแรงเสียดทานในแบบรีกเกตที่มีขนาดร่องแบบรีกเกตที่เท่ากันในทุกส่วน และมีรีนิลส่วนของการยึดจับลวดที่คล้ายกัน อาจจะช่วยให้ทราบถึงปัจจัยอื่นๆ ที่มีผลต่อแรงเสียดทานอย่างชัดเจนต่อไป

## สรุป

ที่สภาวะ例外ติฟ เซลฟ์ไลเกตติงแบบรีกเกตแบบรูร่องมีค่าแรงเสียดทานที่น้อยกว่าแบบรีกเกตธรรมดายิ่งมีนัยสำคัญทางสถิติ โดยแรงเสียดทานที่เกิดขึ้นที่สภาวะ例外ติฟในแบบรีกเกตทั้ง 3 ชนิด สามารถเรียงลำดับจากน้อยไปมากที่สุดได้ดังนี้ เซลฟ์ไลเกตติงแบบรีกเกตตามอนทเรียมเอ็กซ์ เซลฟ์-ไลเกตติงแบบรีกเกตสมาร์ทคลิปและแบบรีกเกตธรรมด้า ซึ่งแบบรีกเกตทั้ง 3 ชนิดนี้มีค่าแรงเสียดทานที่แตกต่างกันอย่างมีนัยสำคัญทางสถิติ

## กิตติกรรมประกาศ

งานวิจัยนี้ได้รับทุนอุดหนุนจากฝ่ายวิจัย คณะทันตแพทยศาสตร์ จุฬาลงกรณ์มหาวิทยาลัย และขอขอบพระคุณอาจารย์ไพบูล พิทยานนท์ ที่ช่วยกรุณาแนะนำด้านสถิติและการวิเคราะห์ข้อมูลในงานวิจัยนี้ได้รับความอนุเคราะห์เครื่องมือและวัสดุที่ใช้ในการวิจัยบางส่วนจาก บริษัท ทันต-สยาม วิสาหกิจ จำกัด และ บริษัท แอคคอร์ด คอร์ปอเรชัน จำกัด รวมทั้งความร่วมมือในการใช้เครื่องมือทดสอบต่างๆ จากเจ้าหน้าที่ศูนย์วิจัยทันตวัสดุศาสตร์ คณะทันตแพทยศาสตร์ จุฬาลงกรณ์มหาวิทยาลัย ทางคณะผู้วิจัยขอขอบพระคุณมาณ ໂอกาสน์ และขอขอบพระคุณ รศ. ทพ. ดร. สุนทรวา พันธ์มีเกียรติ ที่ได้สละเวลา มาให้คำปรึกษาทางด้านสถิติ

### ເອກສາຮອ້າງອີງ

1. Loftus BP, Artun J, Nicholls JI, Alonso TA, Stoner JA. Evaluation of friction during sliding tooth movement in various bracket–arch wire combinations. *Am J Orthod Dentofacial Orthop.* 1999;116:336–45.
2. Braun S, Bluestein M, Moore BK, Benson G. Friction in perspective. *Am J Orthod Dentofacial Orthop.* 1999;115:619–27.
3. Harradine NW. Self-ligating brackets: where are we now? *J Orthod.* 2003;30:262–73.
4. Berger J. Self-ligation in the year 2000. *J Clin Orthod.* 2000;34:74–81.
5. The SmartClip Self-ligating appliance system: Technique guide. [Internet]. 2006 [cited 2008 Feb 22]. Available from: [http://solutions.3m.com/wps/portal/3M/en\\_US/orthodontics/Unitek/solutions/brackets/Smartclip](http://solutions.3m.com/wps/portal/3M/en_US/orthodontics/Unitek/solutions/brackets/Smartclip).
6. Damon DH. The rationale, evolution and clinical application of the self-ligating bracket. *Clin Orthod Res.* 1998;1:52–61.
7. Graber TM. Orthodontics: current principles & techniques. 4<sup>th</sup> ed. St. Louis: Elsevier Mosby, 2005:753–852.
8. Harradine NW. Self-ligating brackets and treatment efficiency. *Clin Orthod Res.* 2001;4:220–7.
9. Nanda R. Biomechanics in clinical orthodontics. Philadelphia: WB Saunders Company, 1997:188–217.
10. Sims AP, Waters NE, Birnie DJ, Pethybridge RJ. A comparison of the forces required to produce tooth movement in vitro using two self-ligating brackets and a pre-adjusted bracket employing two types of ligation. *Eur J Orthod.* 1993;15:377–85.
11. Read-Ward GE, Jones SP, Davies EH. A comparison of self-ligating and conventional orthodontic bracket systems. *Br J Orthod.* 1997;24:309–17.
12. Sims AP, Waters NE, Birnie DJ. A comparison of the forces required to produce tooth movement ex vivo through three types of pre-adjusted brackets when subjected to determined tip or torque values. *Br J Orthod.* 1994;21:367–73.
13. Thorstenson GA, Kusy RP. Comparison of resistance to sliding between different self-ligating brackets with second-order angulation in the dry and saliva states. *Am J Orthod Dentofacial Orthop.* 2002;121:472–82.
14. Thorstenson GA, Kusy RP. Resistance to sliding of self-ligating brackets versus conventional stainless steel twin brackets with second-order angulation in the dry and wet (saliva) states. *Am J Orthod Dentofacial Orthop.* 2001;120:361–70.
15. Pizzoni L, Ravnholz G, Melsen B. Frictional forces related to self-ligating brackets. *Eur J Orthod.* 1998;20:283–91.
16. Kusy RP, Whitley JQ. Assessment of second-order clearances between orthodontic archwires and bracket slots via the critical contact angle for binding. *Angle Orthod.* 1999;69:71–80.
17. LR Series & LS 100 Material Testing Machine user manual. [Internet]. 2008 [cited 2008 Feb 22]. Available from: <http://www.wdturner.com/manuals.html>.
18. Yeh CL, Kusnoto B, Viana G, Evans CA, Drummond JL. *In-vitro* evaluation of frictional resistance between brackets with passive-ligation designs. *Am J Orthod Dentofacial Orthop.* 2007;131:704e.11–22.
19. Franchi L, Baccetti T, Camporesi M, Barbato E. Forces released during sliding mechanics with passive self-ligating brackets or nonconventional elastomeric ligatures. *Am J Orthod Dentofacial Orthop.* 2008;133:87–90.

# The comparison of frictional force in two passive self-ligating brackets and a conventional bracket

Buntoon Chotiwanaporn D.D.S., M.D.Sc. (Orthodontics)<sup>1</sup>

Porntip Chiewcharat D.D.S. (Hons), M.D.Sc. (Orthodontics), Diplomate,  
Thai Board of Orthodontics<sup>2</sup>

Niramol Chamnannidiadha D.D.S. (Hons), Dr.med.dent. (Orthodontics), Diplomate,  
Thai Board of Orthodontics<sup>2</sup>

<sup>1</sup>Graduate Student, Department of Orthodontics, Faculty of Dentistry, Chulalongkorn University

<sup>2</sup>Department of Orthodontics, Faculty of Dentistry, Chulalongkorn University

## Abstract

**Objective** The purpose of this study was to compare the frictional resistance of two types of passive self-ligating brackets and a conventional bracket. The two passive self-ligating brackets were Damon 3MX that kept the wire inside the slot by a sliding door and Smartclip that held the wire by two slipping clips while the conventional bracket (Gemini) kept the wire inside the slot by an elastomeric ring.

**Materials and methods** Three experimental groups were tested by using three different materials in active configuration. Each group consisted of 30 samples. At critical angle 3 degrees, static frictional resistance was evaluated by Lloyd universal testing machine while the 0.019 inch x 0.025 inch stainless steel wire was moved in the bracket slot. One-way analysis of variance and multiple comparisons with Tamhane's T2 were used to analyze the difference of the static frictional resistance among three groups at statistically significant level 0.05.

**Results** The findings revealed that Damon 3MX showed the lowest frictional resistance ( $0.203 \pm 0.083$  newton) followed by Smartclip ( $0.297 \pm 0.074$  newton) and Gemini ( $1.865 \pm 0.404$  newton), respectively. There were statistically significant differences of the frictional resistance among three groups at level 0.05.

**Conclusion** In the active configuration, Damon 3MX bracket and Smartclip bracket produced lower frictional force than the conventional bracket did. Between two self-ligating brackets, Damon 3MX demonstrated lower frictional force than that of Smartclip with statistical significance.

(CU Dent J. 2008;31:159–68)

**Key words:** active configuration; conventional bracket; passive self-ligating bracket; static friction